

# 太阳电池原理 与工艺

安其霖 曹国琛 李国欣 刘宝元 张忠奎 编

上海科学技术出版社



# 太阳电池原理与工艺

安其霖 曹国琛 李国欣 刘宝元 张忠奎 编

上海科学技出版社

## 太阳电池原理与工艺

安其霖 曹国琛 李国欣 刘宝元 张忠奎 编

上海科学技术出版社出版

(上海瑞金二路 450 号)

本书在上海发行所发行 无锡县人民印刷厂印刷

开本 787×1092 1/32 印张 11.25 字数 248,000

1984年10月第1版 1984年10月第1次印刷

印数：1—4,800

统一书号：15119·2341 定价：1.50 元

## 前　　言

太阳能是一种取之不尽、用之不竭的洁净的新能源。应用太阳能，既不会出现大气污染，也不会影响生态平衡，只要阳光所及之处，均能利用太阳能。

太阳电池是一种将光能直接转换成电能的半导体器件。光电转换在太阳能利用中具有美好的发展前景。科学家们早在 1839 年就发现硒和氧化铜有光电转换特性，即光生伏打效应，1954 年具有实用价值的第一批硅太阳电池问世，当时的光电转换效率仅 3~6%，到 1957 年以后，光电转换效率提高到 10% 左右，目前最高的效率已超过 15%，大规模工业生产的常规硅太阳电池效率稳定在 10~13%。

近年来，为了提高硅太阳电池的效率，还先后研制成紫电池、背电场电池、绒面电池，对于多晶硅电池、非晶硅薄膜电池等也进行了研究，分别取得了进展。

近三十年来，太阳电池的研究与利用，无论在效率的提高、成本的降低、工艺的改进、应用范围的扩大、新材料的采用等方面发展都很快。当然，进一步研究高效率低成本的太阳电池是生产发展的必然趋势。

在空间技术的飞跃发展中，由于硅太阳电池重量轻、功效高、寿命长、适应性广泛，目前已成为世界各国制造的人造卫星、宇宙飞船和星际站等航天器的主电源，发挥了特殊的作用。我国研制硅太阳电池始于五十年代，几年来发展很快，目前某些指标已接近或超过国际先进水平，获得了可喜的成绩。太

阳电池的应用已逐渐由空间转为地面、军用转为民用，例如：硅太阳电池已成功地应用于沿海及内河的航标灯、边防哨所的照明灯、无人气象站、铁路讯号灯、地质勘探仪、地震观测站、石油管道阴极保护站、农用诱虫黑光灯、割胶灯、电牧栏、医用手术头灯、电钟、手表、收音机、电视差转机等方面的电源，已为少煤缺电的山区、农村、海岛的普及科学知识、促进电化教育以及发展工业、农业、医疗、交通运输、航海等事业作出了重要贡献。

我国幅员辽阔，太阳能资源丰富，每年的日照时数虽然各地不同，但全国平均值在 2600 小时左右，如按峰值光强计算光能，每天的日照时数仅以 4~5 小时计算即每年约为 1500~1800 小时。因此，估计每年太阳对一平方米地面提供的能量为 1500~1800 度，那么在我国 960 万平方公里的面积上，如以 0.1% 即约 1 万平方公里供太阳电池发电，就可获得电量 15000 亿度（太阳电池转换效率以 10% 计），为在全国总发电量的 5 倍，相当于美国现在发电量的三分之二。我们从积极开发太阳能资源，促进科研，推广应用，以节约煤炭、石油等能源，支援“四化”建设为出发点，组织编写了《太阳电池原理与工艺》一书。这是一本力求理论与实践相结合的科技书籍，全书分为太阳电池的工作原理、硅太阳电池的性能及应用、硅太阳电池的工艺、硅太阳电池的发展趋向，化合物半导体太阳电池、光电化学电池等六章。内容比较系统全面，可供从事太阳电池研究、生产和使用单位的科技人员、管理干部参考，也可作为高等院校有关专业的教学参考用书。

本书由安其霖（上海科技大学讲师）、曹国琛（上海有色金属研究所高级工程师）、李国欣（上海新宇电源厂总工程师）、刘宝元（上海第二冶炼厂工程师）、张忠奎（上海市能源利用技

术研究所工程师)等同志共同编写。初稿完成后，由曹国琛、李国欣进行审阅。最后由安其霖负责统一定稿。

在编写过程中，上海有色金属研究所陆文龙工程师为本书提供了有关资料。对有关单位的领导和同志给予本书编写工作的支持和帮助，在此一并谨表谢意。

由于水平有限、错漏之处在所难免，请读者批评指正。

上海市太阳能学会 朱成名

1982.3.10.

## 主要使用符号函义

$A$ :	P-N 结的面积	$I$ :	电流
$A_o$ :	二极管结构因子	$I_{sc}$ :	短路电流
$A_s$ :	电池受光照表面积	$I_{sh}$ :	旁漏电流
$c$ :	光速	$I_D$ :	暗电流
$C_n$ :	俄歇复合常数	$I_o$ :	饱和电流
$D$ :	扩散系数	$I_{ph}$ :	入射到电池表面光强
$D_s$ :	表面态密度	$I(x)$ :	$x$ 处的光强
$d$ :	栅线间距	$I_m$ :	最佳工作电流
$E$ :	电场强度	$I_p$ :	最佳工作电流
$E_a$ :	导带底	$I_{m,p}$ :	最佳工作电流
$E_b$ :	价带顶	$J_e$ :	注入电流密度
$E_g$ :	禁带宽度	$J_o$ :	饱和电流密度
$E_i$ :	内建电场	$J_d$ :	暗电流密度
$E_{ph}$ :	光生电动势	$J_{D_s}$ :	暗电流密度
$E_{FN}$ :	N 区费米能级	$J_{ph}$ :	光生电流密度
$E_{FP}$ :	P 区费米能级	$J_{sc}$ :	短路电流密度
$E_F$ :	费米能级	$J_{rg}$ :	扩散区复合电流密度
$E_r$ :	复合中心能级	$J_{ar}$ :	势垒区复合电流密度
$e$ :	电子电荷	$K$ :	波耳兹曼常数
$FF$ :	填充因数	$k$ :	波耳兹曼常数
$F(\lambda)$ :	太阳光子流密度	$K_e$ :	损伤系数
$FF_t$ :	半征填充因数	$L_N$ :	电子的扩散长度
$H_d$ :	放电深度	$L_p$ :	空穴的扩散长度
$H$ :	硅片厚度	$m$ :	栅线条数
$H'$ :	电池基区厚度	$N_{eff}$ :	有效杂质浓度

$N_e$ :	态密度	$t$ :	时间
$N_v$ :	态密度	$T(\lambda)$ :	光子穿透率
$N$ :	N型半导体脚标符号或电子浓度	$V$ :	电压
$N_r$ :	复合中心浓度	$V_{ph}$ :	光生电压
$N_D$ :	施主浓度	$V_\infty$ :	开路电压
$N_A$ :	受主浓度	$V_{th}$ :	载流子热运动速度
$N_{ph}$ :	入射的光子数	$V_j$ :	结电压
$N_s$ :	表面浓度	$V_a$ :	势垒电压
$n$ :	电子浓度	$V_m$ :	最佳输出电压
$n_i$ :	本征载流子浓度	$V_{mp}$ :	最佳输出电压
$n_n$ :	各种材料折射率 ( $n=1, 2, 3$ )	$V_p$ :	最佳输出电压
$O$ :	热平衡状态的脚标符号	$x_s$ :	结深
$P$ :	P型半导体脚标符号	$x$ :	距离
$P_m$ :	太阳光输入功率	$\Delta x$ :	电子亲和力
$P_o$ :	太阳电池输出功率	$\rho$ :	电阻率
$P$ :	太阳电池输出功率	$a$ :	吸收系数
$Q_0$ :	标准光强条件下入射光强	$\phi$ :	辐照通量
$Q$ :	杂质总量	$\phi_c$ :	临界粒子密度
$q$ :	电子电荷	$\phi_f$ :	逸出功
$R_s$ :	串联电阻	$\phi_b$ :	势垒高度
$R(\lambda)$ :	表面反射系数	$\tau$ :	少子寿命
$R_Q$ :	欧姆接触电阻	$\mu$ :	少子迁移率
$R_B$ :	方块电阻	$E$ :	电场强度
$R_b$ :	电池基体电阻	$\epsilon_0$ :	自由空间介电常数
$S$ :	表面复合速度	$\epsilon_r$ :	相对介电常数
$S_R(\lambda)$ :	光谱响应	$\epsilon_s$ :	半导体介电常数
$S_I$ :	界面复合速率	$\sigma$ :	电导率
$T$ :	温度	$\eta$ :	效率
		$G_p$ :	几何因子

# 目 录

前言 .....	1
<b>第一章 太阳电池的工作原理 .....</b>	<b>1</b>
§ 1.1 P-N 结 .....	2
§ 1.1.1 平衡 P-N 结.....	2
§ 1.1.2 非平衡 P-N 结.....	8
§ 1.1.3 光照下的 P-N 结——光电效应 .....	11
§ 1.2 太阳电池的光谱响应和光电流.....	13
§ 1.2.1 太阳光的光谱分布.....	13
§ 1.2.2 太阳电池的光谱响应.....	15
§ 1.2.3 短路电流.....	27
§ 1.2.4 单色光的光电流计算.....	30
§ 1.2.5 少子寿命.....	35
§ 1.3 太阳电池的电学特性.....	41
§ 1.3.1 等效电路及光照的电流-电压关系 .....	41
§ 1.3.2 暗电流.....	44
§ 1.3.3 太阳电池的开路电压.....	47
§ 1.3.4 填充因数.....	54
§ 1.3.5 串联电阻、旁路电阻对电池 $I-V$ 特性的影响 .....	55
§ 1.4 太阳电池的转换效率.....	59
§ 1.4.1 太阳电池效率计算.....	60
§ 1.4.2 太阳电池效率的理论值及实际值.....	62
§ 1.4.3 串联电阻和旁路电阻对效率的影响.....	64
§ 1.5 太阳电池片厚度对电池参数的影响.....	66
§ 1.5.1 厚度与光吸收的关系.....	66

§ 1.5.2 电池厚度对短路电流的影响.....	68
§ 1.5.3 电池片厚度对开路电压及填充因素的影响.....	69
§ 1.5.4 电池片厚度对固有效率的影响.....	70
<b>第二章 硅太阳电池的性能及应用 .....</b>	<b>73</b>
§ 2.1 硅太阳电池的结构.....	73
§ 2.2 硅太阳电池的性能.....	74
§ 2.2.1 光谱响应.....	75
§ 2.2.2 输出特性与光强关系.....	75
§ 2.2.3 负载特性曲线.....	76
§ 2.2.4 光照角特性.....	78
§ 2.2.5 响应时间.....	78
§ 2.2.6 光反射特性.....	78
§ 2.2.7 温度特性.....	80
§ 2.2.8 热性质.....	81
§ 2.2.9 使用寿命.....	81
§ 2.3 温度和光照强度对电池性能的影响.....	81
§ 2.3.1 温度的影响.....	81
§ 2.3.2 光照强度的影响.....	87
§ 2.3.3 温度和光照强度的综合影响.....	89
§ 2.4 辐照对电池性能的影响.....	91
§ 2.4.1 辐照损伤.....	91
§ 2.4.2 抗辐照的电池.....	93
§ 2.5 太阳电池供电系统.....	94
§ 2.5.1 镍镉蓄电池组.....	95
§ 2.5.2 太阳电池组合方阵.....	96
§ 2.5.3 电子控制装置 .....	100
§ 2.5.4 小电源设计 .....	101
§ 2.6 太阳电池方阵的组装和试验 .....	106
§ 2.6.1 电池串并联 .....	107

§ 2.6.2 贴盖片 .....	108
§ 2.6.3 贴电池片 .....	110
§ 2.6.4 电性能匹配 .....	110
§ 2.7 太阳电池应用 .....	112
<b>第三章 硅太阳电池的工艺 .....</b>	<b>116</b>
§ 3.1 硅片加工 .....	118
§ 3.1.1 表面损伤层 .....	118
§ 3.1.2 化学抛光 .....	119
§ 3.1.3 化学机械抛光 .....	120
§ 3.2 扩散 .....	122
§ 3.2.1 扩散方程 .....	122
§ 3.2.2 扩散工艺 .....	124
§ 3.2.3 扩散参数的控制 .....	125
§ 3.3 收集电极的引出 .....	144
§ 3.3.1 欧姆接触 .....	145
§ 3.3.2 太阳电池的收集电极 .....	147
§ 3.3.3 减反射镀层 .....	156
§ 3.4 测试 .....	159
§ 3.4.1 太阳模拟器 .....	159
§ 3.4.2 太阳电池的标定 .....	161
§ 3.4.3 测试线路 .....	161
§ 3.4.4 参数测量 .....	163
§ 3.5 影响太阳电池质量的工艺因素 .....	164
<b>第四章 硅太阳电池的发展趋向 .....</b>	<b>171</b>
§ 4.1 高效率太阳电池 .....	171
§ 4.1.1 紫电池 .....	172
§ 4.1.2 无反射电池 .....	176
§ 4.1.3 背电场 (B. S. F.) 电池 .....	180
§ 4.1.4 高效率硅太阳电池的性能 .....	186

§ 4.1.5 高效率硅电池的发展方向 .....	190
<b>§ 4.2 低价硅太阳电池 .....</b>	<b>194</b>
§ 4.2.1 太阳电池级硅(SOG-Si) .....	195
§ 4.2.2 半结晶硅(SILSO 硅) .....	203
§ 4.2.3 带状硅和片状硅 .....	205
§ 4.2.4 大直径硅单晶 .....	212
§ 4.2.5 薄膜结晶 .....	213
§ 4.2.6 熔盐电解法(ECE 法) .....	218
§ 4.2.7 连续生产工艺 .....	219
§ 4.2.8 非晶硅太阳电池 .....	219
<b>第五章 化合物半导体太阳电池 .....</b>	<b>230</b>
§ 5.1 异质结太阳电池的基本原理 .....	231
§ 5.1.1 异质结的分类 .....	232
§ 5.1.2 半导体异质结的能带图 .....	232
§ 5.1.3 异质结的特性 .....	241
§ 5.2 异质面太阳电池 .....	242
§ 5.2.1 砷化镓与砷化镓太阳电池 .....	242
§ 5.2.2 砷化镓异质面太阳电池 .....	248
§ 5.2.3 硼化镉异质面太阳电池 .....	254
§ 5.3 异质结太阳电池 .....	257
§ 5.3.1 硫化亚铜-硫化镉太阳电池 .....	258
§ 5.3.2 InP/CdS 和 CuInSe/CdS 太阳电池 .....	266
§ 5.3.3 SnO <sub>2</sub> /Si、In <sub>2</sub> O <sub>3</sub> /Si 及 ITO/Si 太阳电池 .....	269
§ 5.4 肖特基太阳电池及反型层太阳电池 .....	274
§ 5.4.1 肖特基势垒太阳电池 .....	274
§ 5.4.2 表面反型层硅太阳电池 .....	283
§ 5.5 异质结太阳电池的工艺 .....	291
§ 5.5.1 化学成结法 .....	292
§ 5.5.2 化学气相输运法 .....	294

§ 5.5.3 溶液生长法 .....	298
§ 5.5.4 真空蒸发 .....	302
§ 5.5.5 溅射技术 .....	306
§ 5.5.6 离子注入技术 .....	307
§ 5.5.7 薄膜剥离技术 .....	309
§ 5.6 结语 .....	310
<b>第六章 光电化学电池 .....</b>	<b>314</b>
§ 6.1 概况 .....	314
§ 6.2 光电化学电池的结构与分类 .....	315
§ 6.3 光生化学电池 .....	316
§ 6.4 半导体-电解质光电化学电池 .....	320
§ 6.5 水的光解制氢(光能 → 化学能) .....	333
§ 6.6 结语 .....	336
<b>附录一 常用太阳电池名词术语中英对照 .....</b>	<b>341</b>
<b>附录二 常规硅电池工艺中主要设备照片 .....</b>	<b>346</b>
<b>附录三 太阳电池常用的材料参数 .....</b>	<b>348</b>
<b>附录四 太阳光谱参数与吸收条件关系 .....</b>	<b>348</b>

# 第一章 太阳电池的工作原理

太阳电池是以光生伏打效应为基础制备的。所谓光生伏打效应是某种材料吸收了光能之后产生电动势的效应。在气体、液体和固体中均可产生这种效应。在固体中，尤其在半导体内，光能转换为电能的效率特别高，因此半导体中的光电效应引起人们的注意。

太阳电池是把光能直接转换成电能的一种器件。它是用半导体材料制成的。半导体太阳电池的工作原理可以概括成下面几个主要过程。第一，必须有光的照射，可以是单色光、太阳光或模拟太阳光源等。第二，光子注入到半导体内后，激发出电子-空穴对。这些电子和空穴应有足够的寿命，在它们被分离之前不会复合消失。第三，必须有一个静电场。在静电场的作用下，电子-空穴对被分离，电子集中在一边，空穴集中在另一边。绝大部分太阳电池利用 P-N 结势垒区的静电场实现分离电子-空穴对的目的。P-N 结是太阳电池的“心脏”部分。第四，被分离的电子和空穴，经由电极收集输出到电池体外，形成电流。

本章先讨论 P-N 结的基本原理及其光电效应，在此基础上再讨论电池的光谱响应及光电流和电池的电学特性，最后讨论电池的转换效率。

## § 1.1 P-N 结

若将硅太阳电池放在一个暗盒里，把两个电极引出盒外。在两个电极之间外加一个电压，P型一端接“正”，N型一端接“负”，如图 1-1(b) 所示。随着外加电压的增大，通过电池的电流逐渐上升，当电压达到某个值之后，电流迅速上升，这种接法称为正向连接。另一种接法是 P型一端接“负”，N型一端接“正”，如图 1-1(a) 所示。测量结果与正向连接的情况不同，尽管电压加得很大，通过电池的电流仍然很小，这种接法称为反向连接。如果反向电压继续增大，达到一个较大的值  $V_B$  之后，电流迅速增大，这种情况称为反向击穿。反向击穿后的大电流会破坏电池的 P-N 结，使电池报废。“ $V_B$ ”称为反向击穿电压。

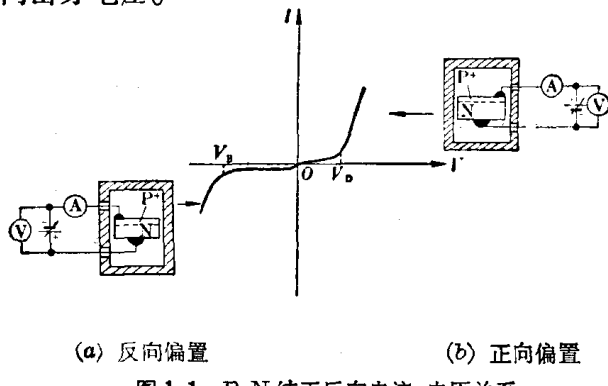


图 1-1 P-N 结正反向电流-电压关系

由测量结果看出，在没有光照时，太阳电池的电流-电压关系和普通二极管完全相同，所以太阳电池是一个 P-N 结。

### § 1.1.1 平衡 P-N 结

众所周知，高纯半导体材料具有很大的电阻，如把一定数

量的杂质掺入半导体内，可以形成 N 型半导体或 P 型半导体。严格控制掺入杂质的量，可使半导体的电阻率符合器件工作的需要。硅是一种半导体材料，它具有 4 个价电子。若把具有 5 个价电子的材料作为杂质掺入硅中，即变成 N 型半导体。由于掺入的杂质比硅多 1 个价电子，这个电子在硅中可以起传输电流的作用，称这类杂质为施主杂质。电子运动组成电流，留下的是电离了的施主杂质。因为这种电子的数量很大，称为多数载流子。在 N 型半导体中，存在有大量带负电荷的电子，同时也存在着等量的带正电荷的电离了的施主（忽略空穴），因此保持电中性。与电子的数量比较，在 N 型半导体中有少量的空穴，称为少数载流子。若把具有 3 个价电子的材料作为杂质掺入硅中，即变成 P 型半导体。由于掺入的杂质比硅少 1 个价电子，相当于 1 个空穴，这种杂质称为受主杂质。P 型半导体材料中，空穴起导电作用，空穴是多数载流子。与空穴的数量比较，电子是少数载流子。在 P 型半导体中，存在着大量的带正电荷的空穴，同时也存在着等量的带负电荷的电离了的受主（忽略电子），因此也保持电中性。

N 型和 P 型半导体一旦接触之后，由于在交界面处存在着电子和空穴的浓度差，N 区中的多数载流子——电子要向 P 区扩散，P 区中的多数载流子——空穴要向 N 区扩散。扩散之后，在交界面的 N 型一侧留下带正电荷的电离施主，形成一个正电荷区域。同理，在交界面的 P 型一侧留下带负电荷的电离受主，形成一个负电荷区域。我们把交界面两侧的正、负电荷区域总称为空间电荷区。由于浓度差形成的扩散的电子流组成电子扩散电流。同理，扩散的空穴流组成空穴扩散电流。所以，扩散电流包括电子扩散电流和空穴扩散电

流两个部份。扩散的运动并不会无限地进行下去。空间电荷区的正负电荷要形成电场，电场方向是 N 区指向 P 区，这个

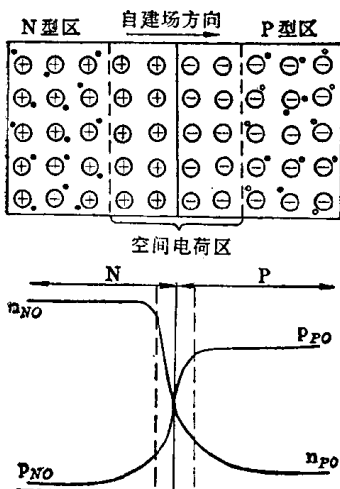


图 1-2 P-N 结空间电荷区及载流子浓度分布

电场称为自建电场或内建电场。自建电场一方面推动带负电的电子沿电场相反方向作漂移运动，即在电场力作用下，由 P 区向 N 区运动，形成电子漂移电流。一方面推动带正电的空穴沿电场方向作漂移运动，由 N 区向 P 区漂移，形成空穴漂移电流。随着扩散电流的增加，空间电荷量不断增加，自建场越来越强。在自建场作用下的漂移电流也相应增加。当扩散电流与漂移电流相等时，P-N 结达到了平衡。平衡 P-N

结的空间电荷及载流子分布情况，如图 1-2 所示。图中  $n_{NO}$ 、 $p_{NO}$  分别表示热平衡时 N 区中的电子浓度、空穴浓度， $n_{PO}$ 、 $p_{PO}$  分别表示热平衡时 P 区中的电子浓度、空穴浓度。

平衡 P-N 结的情况可以用能带图来研究。所谓能带图是一种理论模型。用它来讨论半导体的导电过程及有关特性很方便。简化的能带图如图 1-3 所示。图中  $E_F$  表示导带底， $E_V$  表示价带顶。粗略地讲，每个硅原子都有价电子，这些价电子被原子核吸引而不能随意离去，如果给某个价电子的能量等于或大于  $E_F$ ，使价电子脱开原子核的束缚，可以在整个晶体中起传导电流的作用，称这个价电子进入了导带，图 1-3(a) 中  $E_F$  表示导带的底面，受束缚的价电子仍然留在价